

- [3] Херман И., Вильгельми В. Лазеры сверхкоротких световых импульсов. М.: Мир, 1986. 368 с.
- [4] Vanherzele H., Van Eck J.L., Siegman A.E. Appl. Opt. 1981, v. 20, N 20, p. 3484-3486.
- [5] Прохоренков В.И., Тихонов Е.А., Яцкевич Д.Я., Буныманин Е.Н. - Квантовая электроника, 1987, т. 14, № 4, с. 804-810.
- [6] Прохоренков В.И., Тихонов Е.А., Яцкевич Д.Я. - Письма в ЖТФ, 1987, т. 13, в. 9, с. 549-552.
- [7] Даугвила А., Дерингас А., Кабелка В., Масалов А., Мильяускас А. - Квантовая электроника, 1987, т. 14, № 7, с. 1631-1632.

Поступило в Редакцию
6 августа 1987 г.

Письма в ЖТФ, том 14, вып. 1

12 января 1988 г.

„ФИОЛЕТОВЫЕ“ $pAlGaAs-pGaAs-nGaAs$ -ФОТОЭЛЕМЕНТЫ СО СВЕРХТОНКИМИ (30-300 Å) ШИРОКОЗОННЫМИ СЛОЯМИ

Ж.И. Алферов, В.М. Андреев, А.А. Воднев,
В.Р. Ларionов, А.В. Никитин, Т.А. Прутких,
В.Д. Румянцев

Увеличение чувствительности в коротковолновой области спектра в полупроводниковых фотоэлементах достигается пассивацией поверхности для снижения скорости поверхностной рекомбинации, созданием тянувших квазиэлектрических полей за счет градиента концентрации легирующих примесей или градиента ширины запрещенной зоны, а также уменьшением толщины фронтальных слоев в структурах с гомо- и гетеропереходами.

В $AlGaAs-GaAs$ гетерофотоэлементах [1-4] расширение чувствительности в коротковолновую область спектра обеспечивается уменьшением толщины широкозонного „окна“ - фронтального слоя твердого раствора $Al_xGa_{1-x}As$ ($x = 0.7-0.9$), что было продемонстрировано, например, в работах [2-4] созданием фотоэлементов на основе гетероструктур с толщиной широкозонного слоя 300-1000 Å.

В настоящей работе приводятся результаты исследования фотоэлементов на основе структур $nGaAs-pGaAs-pAl_xGa_{1-x}As$ со сверхтонкими широкозонными слоями твердых растворов $Al_xGa_{1-x}As$ ($x = 0.7-0.9$) толщиной до 30 Å. Структуры получались низкотемпературной жидкотафазной эпитаксией, обеспечивающей прецизионную кристаллизацию слоев толщиной менее 10^{-2} мкм [5, 6]. Исследовано влияние трех параметров структуры на спектральное распределение коэффициента собирания: толщины (d) слоя $pGaAs$, толщины

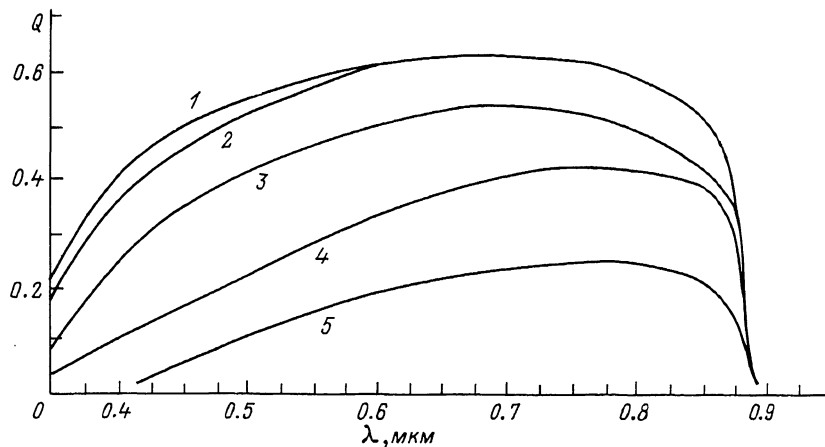


Рис. 1. Спектры фотоответа гетерофотоэлементов $n\text{GaAs}-p\text{GaAs}-p\text{Al}_x\text{Ga}_{1-x}\text{As}$ без просветляющего покрытия с толщиной слоя $p\text{GaAs}$ 0.2 мкм и различными значениями параметра x в слоях твердого раствора, толщиной $w=100$ Å: 1 - 0.9; 2 - 0.7; 3 - 0.5; 4 - 0.15; 5 - $x=0$.

(w) и состава фронтального слоя твердого раствора $\text{Al}_x\text{Ga}_{1-x}\text{As}$ ($x=0.15-0.95$).

На первом этапе работы для выяснения влияния толщины слоя было исследовано пять серий образцов с фиксированными толщинами ($w=30, 100, 300, 500, 1000$ Å) широкозонного слоя $p\text{Al}_x\text{Ga}_{1-x}\text{As}$ ($x \approx 0.8$), варьируемым параметром в которых являлась толщина (d) слоя $p\text{GaAs}$. Было установлено, что при данных значениях w на спектры фотоответа не оказывает влияние изменение толщины слоя $p\text{GaAs}$ в диапазоне $d=0.2-2$ мкм, что свидетельствует об эффективном разделении фотоносителей, генерированных в GaAs при изменении глубины залегания р-п-перехода в указанном диапазоне. Спектр фотоответа для образца с толщиной слоя $p\text{Al}_{0.9}\text{Ga}_{0.1}\text{As}$ $w=100$ Å и $d(p\text{GaAs})=2$ мкм показан кривой 1 на рис. 1. Такой же спектр имели и образцы с $d=0.7, 0.4$, и 0.2 мкм.

Влияние состава слоя твердого раствора на спектры фотоответа исследовано в структурах с толщиной слоя твердого раствора $w=100$ Å. Из рис. 1 следует, что с уменьшением содержания AlAs в слое твердого раствора $\text{Al}_x\text{Ga}_{1-x}\text{As}$ от $x=0.7-0.9$ (кривые 1, 2) до $x=0.15$ (кривая 4) снижение фотоответа происходит не только при энергии квантов большей ширины запрещенной зоны, но и при $h\nu < E_g$, т. е. в „полосе прозрачности“ твердых растворов.

Такой вид спектров в исследуемых образцах отличается от поведения структур с более толстыми слоями твердого раствора, фотоответ в которых в „полосе прозрачности“ слоя твердого раствора

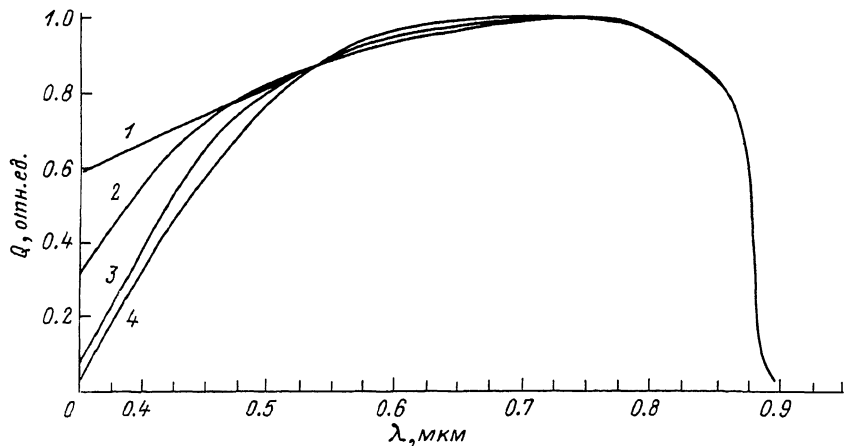


Рис. 2. Спектральное распределение коэффициента собирания четырех фотоэлементов $n\text{GaAs}-p\text{GaAs}-p\text{Al}_x\text{Ga}_{1-x}\text{As}$ с толщинами w слоя твердого раствора, Å: 1 - 30, 2 - 100, 3 - 300, 4 - 1000 без просветляющих покрытий.

имеет почти постоянное максимальное значение Q_{\max} , не зависящее от состава твердого раствора [1]. Причина снижения Q_{\max} при уменьшении E_g твердого раствора в рассматриваемых структурах с $w \approx 100$ Å заключается, по-видимому, в увеличении вероятности туннельного выброса fotoносителей из GaAs в объем твердого раствора и на его поверхность при уменьшении высоты потенциального барьера, разделяющего область генерации носителей тока и поверхность структуры с высокой скоростью поверхностной рекомбинации. При увеличении концентрации AlAs в слоях твердых растворов $\text{Al}_x\text{Ga}_{1-x}\text{As}$ до $x=0.7-0.9$ ширина запрещенной зоны фронтального слоя оказывается достаточной для создания потенциального барьера, препятствующего рекомбинации носителей тока на поверхности структуры, что и обеспечивает практически полное разделение fotoносителей, генерированных в GaAs (кривые 1, 2 рис. 1). Наиболее важной является зависимость fotoответа в коротковолновой (фиолетовой) области спектра от толщины широкозонного слоя $\text{Al}_x\text{Ga}_{1-x}\text{As}$ ($x=0.7-0.9$). На рис. 2 приведены спектры фоточувствительности четырех фотоэлементов с толщиной слоя $p\text{GaAs}$ $d=0.4$ мкм и с толщинами слоя $\text{Al}_{0.7}\text{Ga}_{0.3}\text{As}$ $w=30, 100, 300, 1000$ Å. Видно, что с уменьшением толщины $w=1000$ Å (кривая 4) до 30 Å (кривая 1) наблюдается увеличение фоточувствительности при $\lambda < 0.45$ мкм, что связано с уменьшением поглощения коротковолнового излучения в супертонком слое твердого раствора и снижением потерь, обусловленных поверхностной рекомбинацией. Максимальное значение коэффициента собирания Q_{\max} , получаемое в спектральном диапазоне 0.6-0.8 мкм, в фотоэлементах без

просветляющих покрытий составляет $\varrho_{\max} \approx 0.65$ (после коррекции на отражение $\varrho_{\max} \approx 0.9$), и при уменьшении w от 0.1 мкм до 30 Å величина ϱ_{\max} не уменьшается, что свидетельствует о сплошности и планарности кристаллизуемых сверхтонких широкозонных слоев. В образцах с максимальной коротковолновой чувствительностью (кривая 1, рис. 2) небольшой спад фотоответа при уменьшении λ частично обусловлен увеличением оптических потерь на отражение от свободной, непросветленной поверхности.

Таким образом, в работе продемонстрирована возможность увеличения фотоответа в фиолетовой области спектра путем уменьшения толщины широкозонного „окна” ($Al_xGa_{1-x}As$, $x = 0.7-0.9$) до значений менее 100 Å при сохранении высокой величины фотоответа в остальной части спектра при $\lambda = 0.45-0.9$ мкм.

В заключение авторы выражают признательность С.Г. Конникову и К.Ю. Погребицкому за проведение измерений супертонких слоев методом ОРФЭС и В.П. Хвостикову за помощь при изготовлении образцов.

Л и т е р а т у р а

- [1] Андреев В.М., Головнер Т.М., Каган М.Б., Королева М.С., Любащевская Т.Л., Нуллер Т.А., Третьяков Д.Н. – ФТП, 1973, т. 7, в. 12, с. 2289-2296.
- [2] Аллахвердиев А.М., Егоров Б.В., Лантратов В.М., Трошков С.И. – ЖТФ, 1982, т. 52, в. 11, с. 2312-2314.
- [3] Андреев В.М., Румянцев В.Д., Салиева О.К., Сараджишвили Н.М., Сулима О.В. – ЖТФ, 1985, т. 55, в. 6, с. 1124-1129.
- [4] Hamaker H.C., Ford C.W., Werthen J.G., Virshup G.F., Kaminar N.R., King D.L., Geel M. – Appl. Phys. Lett., 1985, v. 47, N 1, p. 762-764.
- [5] Андреев В.М., Ивентьев О.О., Конников С.Г., Погребицкий К.Ю., Пурон Э., Сулима О.В., Фалеев Н.Н. – Письма в ЖТФ, 1986, т. 12, в. 9, с. 533-537.
- [6] Алферов Ж.И., Андреев В.М., Воднев А.А., Конников С.Г., Ларионов В.Р., Погребицкий К.Ю., Румянцев В.Д., Хвостиков В.П. – Письма в ЖТФ, 1986, т. 12, в. 18, с. 1089-1093.

Физико-технический институт
им. А.Ф. Иоффе АН СССР
Ленинград

Поступило в Редакцию
5 сентября 1987 г.